

یک روش جدید مبتنی بر معیارهای آماری توزیع برای تنظیم خودکار نرخ یادگیری آتاماتای یادگیر در محیط‌های پویا

محمد رضا ملاخیلی میبدی، محمدرضا میبدی

نرخ یادگیری $\alpha(t) = \alpha(0)e^{-\frac{t}{T}}$ آن را کاهش می‌دهند. به این ترتیب پس از مدتی

مشکل از اینجاست که اگر از این مرحله به بعد، نمونه‌هایی وارد شوند که مشخصه‌های آماری متفاوتی با مشخصه‌های آماری نمونه‌های قبلی داشته باشند، سیستم یادگیر قادر به یادگیری آنها نیست.

بنابراین نرخ یادگیری کاهش یابنده با زمان، با وجود مزیت‌هایی که در همگرایی سریع دارد، باعث می‌شود سیستم یادگیر از قدرت تطابق پذیری و یادگیری خوبی در برخورد با محیط‌های تصادفی گوناگون برخوردار نباشد.^[۳]

کارهایی که در زمینه انطباقی کردن نرخ یادگیری در آتاماتای یادگیر انجام شده است را می‌توان به دو گروه تقسیم کرد: وابسته به مساله و مستقل از مساله. در روش‌های پیشنهادی وابسته به مساله، بر اساس نوع مساله‌ای که آتاماتای یادگیر و یا اجتماعی از آتاماتاهای یادگیر در صدد حل آن هستند روش‌هایی برای تطبیقی کردن نرخ یادگیری پیشنهاد شده است.^{[۴][۵][۶][۷]} در تمام این نمونه‌ها، بر حسب نوع مساله، روشی برای به روزرسانی نرخ یادگیری پیشنهاد شده است که سرعت همگرایی و حل مساله را افزایش داده است. رده وسیعی از این روش‌های انطباقی را در^[۴] می‌توانید مشاهده کنید که در آن نویسنده با توجه به مساله یافتن درخت پوشای کمینه در گراف‌های تصادفی، از پاره‌ای ویژگی‌های توزیع احتمال اقدام‌ها به شکل مستقم برای تطبیق کردن نرخ یادگیری و رسیدن به همگرایی سریع‌تر استفاده کرده است. مشابه همین ایده نیز در^{[۸][۹]} مورد استفاده قرار گرفته است. اما در گروه دوم، مستقل از مساله یا ساختار اجتماع آتاماتاهای یادگیر، روش‌هایی برای این کار پیشنهاد می‌شود.

از آنجا که غالباً، استفاده از آتاماتاهای یادگیر به شکل شبکه‌ای ساختارمند صورت می‌گیرد^[۹]، بنابراین روش‌های پیشنهادی برای انطباقی کردن نرخ یادگیری غالباً وابسته به مساله و ساختار بوده و از مساله‌ای به مساله دیگر و از ساختاری به ساختار دیگر متفاوت هستند. پژوهش مستقلی که به بررسی تنظیم خودکار نرخ یادگیری در آتاماتای یادگیر (فارغ از مساله‌ای که آتاماتا در صدد حل آن است و یا ساختار شبکه‌ای از آتاماتاها که برای حل مساله مورد استفاده قرار می‌گیرد) پرداخته باشد، مشاهده نشده است. عموم پژوهش‌های این بخش مربوط به شبکه‌های

چکیده - یکی از مسائل مطرح در ساخت سیستم‌های یادگیر نظری شبکه‌های عصبی و یا آتاماتای یادگیر، تعیین نرخ یادگیری است. در اکثر موارد از یک الگوریتم کاهش یابنده در طول زمان برای تنظیم نرخ یادگیری استفاده می‌شود. در این مقاله یک روش جدید برای تغییر نرخ یادگیری و انطباق سیستم یادگیرنده با وضعیت محیط، برای استفاده در آتاماتای یادگیر پیشنهاد شده است. این روش جدید از برخی معیارهای آماری مربوط به توزیع فعلی به دست آمده برای بردار احتمالات متناظر با اقدام‌های آتاماتا به منظور تعیین افزایش یا کاهش نرخ یادگیری استفاده می‌کند. مزیت این روش در آن است که برخلاف روش‌های موجود فعلی، در طول فرآیند یادگیری هم افزایش و هم کاهش مقدار نرخ یادگیری را-بسته به نتایج مقایسه معیارهای آماری- انجام می‌دهد و به صورت خودکار نرخ یادگیری را تنظیم می‌کند.

ضمن تشرییح مبانی ریاضی این الگوریتم جدید، عملکرد این الگوریتم را در محیط‌های تصادفی نمونه بررسی کرده و با مقایسه نتایج به دست آمده نشان داده ایم؛ روش پیشنهادی جدید به دلیل اینکه در طول زمان یادگیری، همزمان و بر اساس معیارهای تعیین شده، افزایش و کاهش نرخ یادگیری را انجام می‌دهد، از انعطاف پذیری بیشتری نسبت به روش‌های قبلی برای انطباق با محیط‌های تصادفی پویا برخوردار است و مقادیر یادگرفته شده به مقادیر حقیقی نزدیکتر هستند.

کلید واژه- آتاماتای یادگیر، نرخ یادگیری پویا، تنظیم نرخ یادگیری، نابرابری چیزی.

۱ - مقدمه

بحث تنظیم خودکار نرخ یادگیری یکی از مسائلی است که در مباحث مرتبط با الگوریتم‌ها و سیستم‌های یادگیری و خصوصاً در مباحث مربوط به شبکه‌های عصبی به کرات مورد بررسی قرار گرفته است^{[۱][۲][۳]}. اکثر الگوریتم‌های موجود، از یک نرخ یادگیری با مقدار بالا شروع کرده و در حین فرآیند آموزش به کمک یکتابع کاهش یابنده با زمان (مثلاً

مقاله در تاریخ ۳۰ خرداد ماه ۱۳۹۱ دریافت شد.

محمد رضا ملاخیلی میبدی، دانشکده مهندسی کامپیوتر، دانشگاه آزاد اسلامی واحد علوم و تحقیقات تهران، حصارک تهران (email: m.meybodi@srbiau.ac.ir)
محمد رضا میبدی، دانشکده مهندسی کامپیوتر و فناوری اطلاعات، دانشگاه صنعتی امیرکبیر، تهران (email: mmeybodi@aut.ac.ir).

$$\begin{aligned} G \equiv \phi &\rightarrow \alpha & \text{وضعیت بعدی} \\ \text{تابع خروجی که وضعیت فعلی را به خروجی بعدی نگاشت می‌کند.} \\ \phi(n) &\equiv \{\phi_1, \phi_2, \dots, \phi_r\} & \text{مجموعه وضعیتهای داخلی آتماتا در زمان } n \end{aligned}$$

مجموعه α شامل خروجیهای (اقدامهای) آتماتا است که آتماتا در هر گام یک اقدام از r اقدام این مجموعه را برای اعمال بر محیط انتخاب می‌نماید. مجموعه ورودی‌ها (β) ورودیهای آتماتا را مشخص می‌کند. توابع F و G وضعیت فعلی ورودی را به خروجی بعدی (اقدام بعدی) آتماتا نگاشت می‌کنند. اگر نگاشتهای F و G قطعی باشند، آتماتا یک آتماتای قطعی نامیده می‌شود. در چنین حالتی با فرض یک وضعیت اولیه و ورودی مشخص، حالت بعدی و خروجی بصورت یکتا مشخص شده‌اند. در حالتیکه نگاشتهای F و G تصادفی باشند، آتماتا عنوان آتماتای تصادفی معروفی می‌شود.

آتماتای تصادفی را می‌توان به دو دسته آتماتای تصادفی با ساختار ثابت و آتماتای تصادفی با ساختار متغیر تقسیم‌بندی کرد. در آتماتای تصادفی با ساختار ثابت احتمال اقدامهای آتماتا ثابت هستند. در حالیکه در آتماتای تصادفی با ساختار متغیر احتمالات اقدامهای آتماتا در هر تکرار به روز می‌شوند (تغییر احتمالهای اقدامها بر اساس الگوریتم یادگیری انجام می‌شود). وضعیت داخلی آتماتا ϕ ، توسط احتمالات اقدامهای آتماتا بازنمایی می‌شوند. برای سادگی هر وضعیت داخلی آتماتا را مطابق با یک اقدام مشخص آتماتا در نظر می‌گیرند. بنابراین می‌توان وضعیت داخلی آتماتا ϕ را با بردار احتمال اقدامهای آتماتا P که بصورت زیر نشان داده می‌شود، جایگزین نمود.

$$P(n) \equiv \{p_1(n), p_2(n), \dots, p_r(n)\} \quad (2)$$

به گونه‌ای که:

$$\sum_{i=1}^r p_i(n) = 1, \quad \forall n, \quad p_i(n) = \text{Prob} [\alpha(n) = \alpha_i] \quad (3)$$

در آغاز فعالیت آتماتا، احتمال اقدامهای آن بصورت مساوی با هم برابر با $p_i = \frac{1}{r}$ قرار داده می‌شوند. (که r تعداد اقدامهای آتماتا می‌باشد.)

محیط: محیط تصادفی را به طور ریاضی می‌توان بصورت یک سه‌تایی

$E \equiv \{\alpha, \beta, c\}$ توصیف کرد، به طوریکه:

$$\begin{aligned} \alpha &\equiv \{\alpha_1, \alpha_2, \dots, \alpha_r\} & \text{مجموعه ورودیهای محیط} \\ \beta &\equiv \{\beta_1, \beta_2, \dots, \beta_r\} & \text{مجموعه خروجیهای محیط} \\ c &\equiv \{c_1, c_2, \dots, c_r\} & \text{مجموعه احتمالهای جریمه} \end{aligned}$$

ورودی محیط یکی از r اقدام انتخاب شده آتماتا است. خروجی(پاسخ)

محیط به هر اقدام i توسط β_i مشخص می‌شود [۱۰]

ارتباط آتماتای تصادفی با محیط در شکل ۱ نشان داده شده است. از این مجموعه به همراه الگوریتم یادگیری تحت عنوان آتماتای یادگیر تصادفی نام برده می‌شود. به این ترتیب آتماتای یادگیر تصادفی را

心思ی می‌باشد که برخی از آنها به لحاظ عمومیتی که در مبانی دارند- نظیر نرخ یادگیر کاهش‌یابنده با زمان- برای سایر سیستم‌های یادگیر و از جمله آتماتای یادگیر نیز قابل استفاده هستند.

به نظر می‌رسد ایده‌های تطبیقی کردن نرخ یادگیری با هدف تسريع در همگرایی فرآیند یادگیری صورت گرفته است و مساله انطباقی کردن نرخ یادگیری در محیط‌های پویا چندان مدنظر قرار نگرفته است. ادامه مقاله بدین صورت سازماندهی شده است. در بخش دوم ضمن بررسی مختصر آتماتای یادگیر، نامساوی چبیشف را به عنوان یک نامساوی کاربردی در توزیع‌های تصادفی که مستقل از توزیع متغیر تصادفی رابطه‌ای میان مقدار متغیر تصادفی، مقدار میانگین و واریانس آن توزیع می‌کند، را بررسی خواهیم کرد. در ادامه همین بخش ایده به کارگیری این نامساوی به عنوان یک معیار تشخیص پویایی محیط مورد بررسی قرار می‌گیرد. در بخش سوم، الگوریتم پیشنهادی مبتنی بر نامساوی چبیشف ارائه خواهد شد. بخش چهارم به بررسی تجربی این الگوریتم در تعدادی محیط پویا اختصاص داده شده است. بخش پنجم به جمع بندی مطالب ارائه شده در مقاله اختصاص یافته است.

۲- مبانی روش پیشنهادی

۱- بررسی نحوه یادگیری در آتماتای یادگیر

یک آتماتای یادگیر به عنوان مدلی از یک سیستم یادگیر است که در محیط‌های تصادفی ناشناخته عمل می‌کند. آتماتا در هر دور یک اقدام از میان مجموعه محدود اقدام‌های خود انتخاب کرده و با بررسی عکس العمل محیط نسبت به این اقدام، احتمال انتخاب اقدام‌های بعدی را بهبود می‌بخشد [۹].



شکل ۱- آتماتای یادگیر و نحوه تعامل آن با محیط

یک آتماتای تصادفی را می‌توان بصورت یک ماشین حالت متناهی در نظر گرفت. به بیان ریاضی نیز می‌توان آنرا بصورت یک پنج‌تایی مانند زیر نشان داد :

$$SA \equiv \{\alpha, \beta, F, G, \phi\} \quad (1)$$

که

$$\begin{aligned} r &\quad \text{تعداد اقدامهای آتماتا} \\ \alpha &\equiv \{\alpha_1, \alpha_2, \dots, \alpha_r\} & \text{مجموعه اقدامهای آتماتا} \\ \beta &\equiv \{\beta_1, \beta_2, \dots, \beta_r\} & \text{مجموعه ورودیهای آتماتا} \\ F &\equiv \phi \times \beta \rightarrow \phi & \text{تابع نگاشت وضعیت فعلی و ورودی به} \end{aligned}$$

می‌توان با چهار تابی

بردار احتمال انتخاب اقدام‌های آتاماًتا در زمان t را با $\overline{P(t)}$ نشان میدهیم که $\overline{P(t)} = [P_1^t, P_2^t, \dots, P_r^t]$ علاوه بر این محیط تصادفی بر اساس بردار احتمالات $C = [C_1, C_2, \dots, C_r] = \bar{C}$ اقدام‌های محیط را پاداش میدهد که در آن $\sum_{i=1}^r C_i = 1$ است.

در این آتاماًتا یادگیر هر اقدام آتاماًتا دارای یک نرخ یادگیری است. این بردار را با $\alpha = [\alpha_1, \alpha_2, \dots, \alpha_r]$ نشان میدهیم. در این مقاله فرض می‌کنیم آتاماًتا یادگیر برای به روزرسانی بردار احتمال انتخاب های خود از الگوریتم L_{R-I} استفاده می‌کند.

گزاره ۱: رابطه به روزرسانی بردار احتمال انتخاب اقدام آتاماًتا یادگیر برای زمانی که اقدام k ام توسط آتاماًتا صورت گرفته و آتاماًتا از الگوریتم یادگیر خطی L_{R-I} استفاده می‌کند را می‌توان به صورت رابطه (۸) نوشت:

$$P_k^{t+1} = P_k^t * (1 - \alpha_k) + \alpha_k R^{t+1} \quad (8)$$

در رابطه (۸)، R پاسخ محیط به اقدام انجام شده توسط آتاماًتا است و داریم

$$R^{t+1} = \begin{cases} 1 & \text{with probability } C_k \\ 0 & \text{with probability } 1 - C_k \end{cases} \quad (9)$$

رابطه یادگیری آتاماًتا در این حالت را به شکل برداری (۱۰) می‌توان نشان داد

$$\vec{P}^{t+1} = \vec{P}^t * (1 - \alpha) + \alpha \vec{R}^{t+1} \quad (10)$$

رابطه (۱۰) در حقیقت نشان میدهد که بردار احتمال انتخاب اقدام‌های آتاماًتا یادگیر در طول فرآیند یادگیری، به بردار میانگین پاسخ‌های محیط همگرا می‌شود.

۲-۲ محیط‌های پویا

موقوفیت آتاماًتا یادگیر در محیط‌های پویا بستگی به تغییرات محیط و اطلاعاتی که توسط آتاماًتا یادگیر از محیط قابل جمع آوری است، دارد. در [۹] نویسنده یک تقسیم بندی مفصل از محیط‌های پویا ارائه داده است. اما از یک دیدگاه کلی می‌توان محیط‌های پویا را به دو گروه کلی تقسیم کرد: محیط‌های پویا MSE و محیط‌های پویا باتابع احتمال جریمه متغیر با زمان.

در MSE‌ها فرض بر این است که محیط پویای واقعی خود از چند محیط ایستا^۱ تشکیل شده است و پویایی محیط ناشی از یک توالی از فرآیندهای جابجایی بین این محیط‌های ایستا است [۱۲]. به بیان ریاضی، محیط پویای \mathcal{E} توسط یک مجموعه $\{E_1, E_2, \dots, E_H\}$ از محیط‌های ایستا و یک ماتریس جابجایی T تعریف می‌شود. در این ماتریس T ، عنصر T_{ij} نشان دهنده احتمال آن است که اگر آتاماًتا یادگیر در حال حاضر با محیط تصادفی E_i در تعامل است، در گام بعدی با محیط تصادفی E_j در تعامل باشد. در حقیقت در MSE‌ها محیط تصادفی پویا از

^۱ در این مقاله محیط ایستا را معادل با Stationary Environment و محیط پویا را برای non-Stationary Environment در نظر گرفته ایم

$$SLA \equiv \{\alpha, \beta, p, T, c\} \quad (4)$$

تعریف کرد. به طوریکه :

$$\begin{aligned} \text{مجموعه اقدام‌های آتاماًتا} / \text{مجموعه ورودیهای محیط} \\ \alpha \equiv \{\alpha_1, \alpha_2, \dots, \alpha_r\} \end{aligned}$$

$$\begin{aligned} \text{مجموعه ورودیهای آتاماًتا} / \text{مجموعه خروجیهای محیط} \\ \beta \equiv \{\beta_1, \beta_2, \dots, \beta_r\} \end{aligned}$$

$$\begin{aligned} \text{بردار احتمال اقدام‌های آتاماًتا} \\ p \equiv \{p_1, p_2, \dots, p_r\} \end{aligned}$$

الگوریتم یادگیری

$$\begin{aligned} T \equiv p(n+1) = T[\alpha(n), \beta(n), p(n)] \\ \text{مجموعه احتمالات جریمه که معرف محیط می‌باشد.} \\ c \equiv \{c_1, c_2, \dots, c_r\} \end{aligned}$$

الگوریتم یادگیری خطی: الگوریتم یادگیری یک رابطه بازگشته است که برای انجام تغییرات و به روزرسانی در بردار احتمال اقدام‌های آتاماًتا در یک آتاماًتا یادگیر تصادفی با ساختار متغیر مورد استفاده قرار می‌گیرد. فرض کنید یک آتاماًتا یادگیر تصادفی ساختار متغیر در زمان k از میان مجموعه اقدام‌های α عمل $\alpha_i(k)$ را انتخاب کرده باشد. همچنین فرض کنید بردار احتمال اقدام‌های آتاماًتا را با $p(k)$ نمایش داده‌ایم. اگر a و b پارامترهایی باشند که به ترتیب میزان افزایش یا کاهش احتمالات اقدام‌ها را مشخص می‌کنند و r تعداد اقدام‌های قابل انجام توسط آتاماًتا یادگیر باشد، بردار (k) p توسط الگوریتم یادگیری خطی ارائه شده در روابط زیر به روزرسانی می‌شود. مقدار a را پارامتر پاداش و b را پارامتر جریمه می‌نامند

$$p_j(k+1) = \begin{cases} (1-a)p_j(k) + a & j = i \\ (1-a)p_j(k) & \forall j \neq i \end{cases} \quad (5)$$

$$p_j(k+1) = \begin{cases} (1-b)p_j(k) & j = i \\ (1-b)p_j(k) + \frac{b}{r-1} & \forall j \neq i \end{cases} \quad (6)$$

رابطه (۵) زمانی مورد استفاده قرار می‌گیرد که عمل $\alpha_i(k)$ منجر به دریافت پاداش از محیط شده باشد و رابطه (۶) زمانی مورد استفاده قرار می‌گیرد که این عمل به دریافت جریمه از محیط منجر شده باشد.

اگر $a=b$ باشد روابط یادگیری خطی (معادله‌های (۶) و (۵)) را الگوریتم L_{R-P} می‌نامند. اگر $b \gg a$ باشد آن را $L_{R-\epsilon P}$ و اگر $b=0$ باشد آن را $L_{R-\epsilon}$ می‌نامند [۱۱].

عامل موثر در کارآیی آتاماًتا ساختار متغیر، الگوریتم‌های یادگیری هستند که برای به روزرسانی احتمال اقدام‌ها استفاده می‌شود. با این مقدمات فرض کنید یک آتاماًتا یادگیر با i اقدام در یک محیط تصادفی فعالیت می‌کند. محیط تصادفی اقدام انجام شده توسط آتاماًتا را ارزیابی می‌کند و آتاماًتا بر اساس این ارزیابی، بردار احتمالات اقدام i خود را به روزرسانی می‌کند. فرض کنید P_i^t مقدار احتمال انتخاب اقدام i آتاماًتا را در زمان t نشان دهد. ضمناً

$$\sum_{i=1}^r P_i^t = 1 \quad \forall t \in \{0, 1, \dots\} \quad (7)$$

نابرابری چندبعدی چیشیف تعمیمی از نابرابری چیشیف است که به کمک آن میتوان مرزی را برای اینکه یک بردار تصادفی از بردار مقادیر میانگین اش بیش از یک مقدار معین فاصله داشته باشد را تعیین کرد. این نابرابری بدین شکل فرمول بندی می‌شود.

نابرابری چیشیف (تعمیم یافته): فرض کنید \mathbf{X} یک بردار تصادفی با میانگین $\mathbf{\mu} = E[\mathbf{X}]$ و ماتریس کوواریانس $\mathbf{V} = (\mathbf{X} - \mathbf{\mu})(\mathbf{X} - \mathbf{\mu})^T$ باشد. اگر \mathbf{V} یک ماتریس تعريف شده مثبت باشد در این صورت برای هر عدد حقیقی $t > 0$ داریم

$$\Pr((\mathbf{X} - \mathbf{\mu})\mathbf{V}^{-1}(\mathbf{X} - \mathbf{\mu})^T > qN) \leq 1/q^2 \quad (14)$$

که در رابطه (14) $N = \text{trace}(\mathbf{V}^{-1}\mathbf{V})$ است.

۴-۲ استفاده از نابرابری چیشیف به عنوان یک معیار در تطبیقی کردن نرخ یادگیری

در این قسمت با توجه به گزاره ۱ که نحوه تغییرات بردار احتمال انتخاب اقدام‌های آتاماتا را نشان میدهد و نابرابری چیشیف به ارائه معیاری برای کاهش یا افزایش نرخ یادگیری آتاماتا یادگیر خواهیم پرداخت.

گزاره ۲: فرض کنید X متغیری است که بر اساس رابطه (15) به روز رسانی می‌شود

$$X^{t+1} = X^t * (1 - \alpha) + \alpha R^{t+1} \quad (15)$$

که در آن

$$R^{t+1} = \begin{cases} 1 & \text{with probability } C^* \\ 0 & \text{with probability } 1 - C^* \end{cases} \quad (16)$$

است. ثابت می‌شود [۱۶]:

$$\lim_{t \rightarrow \infty} E[X^t] = \mu = C^*$$

الف- واریانس X^t محدود و دارای مقدار حدی زیر است

$$Var(X^t) = \delta^2 = \frac{\alpha}{2-\alpha} C^*(1 - C^*)$$

ج- مطابق با نامساوی چیشیف داریم:

$$\forall q > 0 \quad P(|X^t - C^*| \geq q\delta) \leq \frac{1}{q^2}$$

اثبات:

الف- $E[X^{t+1}]$ یک فرآیند تصادفی برنولی با پارامتر C^* است. علاوه بر این داریم:

$$\begin{aligned} E[X^{t+1}] &= (1 - \alpha)E[X^t] + \alpha E[R^{t+1}] \\ &= (1 - \alpha)E[X^t] + \alpha C^* \end{aligned} \quad (17)$$

از رابطه بازگشتی (17) داریم:

$$E[X^{t+1}] = (1 - \alpha)^t E[X^0] + (1 - (1 - \alpha)^t)C^* \quad (18)$$

با توجه به اینکه $1 - \alpha < 0$ رابطه (18) نشان می‌دهد که

$$\lim_{t \rightarrow \infty} E[X^{t+1}] = C^* \quad (19)$$

ب: به طریق مشابه میتوان نشان داد که

$$Var[X^{t+1}] = \frac{\alpha}{2-\alpha} C^*(1 - C^*)(1 - (1 - \alpha)^{2t+2}) \quad (20)$$

با توجه به اینکه $1 - \alpha < 0$ رابطه (20) نشان میدهد که

$$\lim_{t \rightarrow \infty} Var[X^{t+1}] = \frac{\alpha}{2-\alpha} C^*(1 - C^*) \quad (21)$$

ج- با فرض $E[X] = m$ برای متغیر تصادفی X نامساوی مارکوف

مجموعه‌ای از محیط‌های تصادفی ایستا تشکیل شده است که مجموعه حالات یک زنجیره مارکوف را تشکیل می‌دهند [۹][۱۳][۱۲].

مدل دیگری که در متون مربوطه برای محیط‌های پویا ارائه شده است، مدلی است که احتمالات جرمیه اقدامها را غیرثابت و متغیر با زمان فرض کرده است [۱۴][۱۳]. یعنی احتمال جرمیه اقدام در عین اینکه به اقدام انجام شده بستگی دارد، به زمان انجام آن نیز بستگی دارد.

مقالاتی که به ارائه الگوریتم‌های یادگیر مبتنی بر آتاماتای یادگیر برای محیط‌های MSE پرداخته‌اند به دلیل تنوع این محیط‌ها بسیار زیاد هستند. ایده غالب آنها تشکیل سلسله مراتبی از آتاماتاهای یادگیر است که برخی سطوح وظیفه تعیین محیط ایستا را بر عهده دارند و برخی سطوح دیگر فرآیند یادگیری در آن محیط ایستا را بر عهده دارند [۱۳].

همانگونه که قبلاً هم مذکور شدیم، هیچ پژوهش مستقلی که فرآیند یادگیری در آتاماتای یادگیر را از طریق تطبیقی کردن نرخ یادگیری دنبال کرده باشد، در متون و مقالات تخصصی این حوزه یافت نشده و آنچه که از طریق تطبیقی کردن نرخ یادگیری صورت می‌گیرد، غالباً وابسته به مساله و ساختاری از آتاماتاهای که برای حل مساله مورد استفاده قرار گرفته است، می‌باشد.

۳-۲ نابرابری چیشیف

برای تنظیم پویای نرخ یادگیری، به منظور انطباق در محیط‌های پویا، نیاز به معیاری داریم تا بر اساس آن معیار میزان توانمندی نرخ یادگیری فعلی سیستم یادگیر را در رصد کردن تغییرات محیط بستجهم. یکی از ابزارهای آماری مناسب در این مورد نابرابری موسوم به نابرابری چیشیف است. در نظریه احتمالات نابرابری چیشیف تضمین می‌کند که در هر نمونه تصادفی یا در هر توزیع احتمال، "تقریباً تمامی" مقادیر در نزدیکی میانگین خواهند بود. به طور دقیق تر این قضیه بیان می‌کند که حداقل مقادیری که در هر توزیع می‌توانند بیش از k برابر انحراف معیار با میانگین فاصله داشته باشند $\frac{1}{k^2}$ است. [۱۵]

قضیه (نامساوی مارکوف): اگر X یک متغیر تصادفی و a یک عدد حقیقی مثبت باشد، در این صورت

$$Pr(|X| > a) \leq \frac{E(X^2)}{a^2} \quad (11)$$

برای اثبات این قضیه میتوانید به مرجع [۱۶] مراجعه کنید.

با استفاده از نامساوی مارکوف میتوان به نامساوی چیشیف رسید. اگر m نشان دهنده میانگین متغیر تصادفی X باشد با جایگذاری $X-m$ در رابطه بالا به نامساوی، موسوم به نامساوی چیشیف خواهیم رسید.

$$Pr(|X - m| \geq a) \leq \frac{Var(X)}{a^2} \quad (12)$$

اگر $Var(X)$ را با δ نشان دهیم تفسیر دیگری از نامساوی چیشیف به دست می‌آید

$$Pr(|X - m| \geq a\delta) \leq \frac{1}{a^2} \quad (13)$$

رابطه (13) در حقیقت بیان می‌کند که احتمال اینکه یک متغیر تصادفی در خارج از بازه ای حول میانگین به شاعر a برابر واریانس باشد از $\frac{1}{a^2}$ کمتر است. این رابطه برای مقادیر $a > 1$ واحد اطلاعات مفید است.

محلى وجود داشته باشد و يا محيط تصادفي، تعبيير کند. در الگوريتم پيشنهادی جديد از ويژگی سوم مطرح در گزاره ۲ به عنوان عامل تشخيص دهنده اختلاف ميان تخمین جديد و ميانگين تخمین های قبلی استفاده می کنيم و به کمک آن در موارد لازم، نرخ يادگيري را افزایش ميدهيم.

در اکثر سистем های يادگير و از جمله در آتاماتای يادگير، نرخ يادگيري در مدت آموزش، به شکل پویا - کاهش يابنده با زمان - تعبيير می کند. دليل اين امر هم واضح است. در ابتداي يادگيري ، مقادير بزرگتر نرخ يادگيري، باعث آموزش سريع تر می گرددند. به تدریج و با افزایش تعداد نمونه ها، سیستم يادگیرنده، سعی می کند بیشتر متکی بر تجربیات آموزشی گذشته باقی بماند تا اينکه سعی کند از نمونه های جديد برای يادگيري استفاده کند. اين منطق باعث می شود، در ابتداي فرآيند يادگيري، سیستم يادگیرنده جسورانه تر و با گذر زمان محافظه کارانه تر عمل کند. اکثر سیستم های يادگيری، از يك نرخ يادگير پویا کاهش يابنده در حین فرآيند يادگيري استفاده می کنند. نرخ يادگيري با اين مفهوم پارامتری است که ميزان فراموش کاري سیستم را تعريف می کند. مقادير کوچکتر اين پارامتر، يعني انکاي بیشتر سیستم به تجربیات گذشته و مقادير بزرگتر به معنای نادیده گرفتن تجربیات گذشته است.

در بیشتر سیستم ها، منطق بالا پاسخگوی نیازها می باشد. مساله اينجاست که کاهش نرخ يادگيري در طول زمان باعث می شود به مرور زمان، انطباق پذيری سیستم يادگير کاهش يابد و نسبت به تعبييرات در محيط عكس العمل مناسب نشان ندهد. بنابراین برای تنظيم اتوماتيك نرخ يادگيري در طول مدت آموزش بايستي معياري داشته باشيم تا بر اساس آن نسبت به افزایش (در صورت بروز تعبييرات جدي در محيط) يا کاهش (در صورت یکنواخت بودن پاسخ محيط و نزديک شدن به همگراي) نرخ يادگيري اقدام کنيم. اين معياري بايستي قادر به تعين ميزان اهميت تعبييرات در محيط باشد.

۳- الگوريتم پيشنهادی

با توجه به رابطه يادگيري مورد استفاده توسط آتاماتای يادگير برای هر اقدام و تفسير برداری آن، می توان از نابرابری چيسيف به شکل ساده يا برداری آن برای تنظيم اتوماتيك نرخ يادگيري استفاده کرد. منطق کار بدین صورت است که :

الف- درحالات ساده: در اين حالت برای هر يك از اقدام های آتاماتا يك نرخ يادگيري در نظر می گيريم. بر اساس نامساوی چيسيف (يا همان مارکوف رابطه (۱۳))، چنانچه اختلاف مقدار احتمال انتخاب يك اقدام آتاماتا با ميانگين مقادير قبلی آن از يك مقدار آستانه بيشتر باشد (نامساوی چيسيف)، به منزله تعبييرات زياد در محيط بوده و نرخ يادگيري را افزایش می دهد. همزمان با افزایش نرخ يادگيري در هر بار، مقدار ميانگين با صفر مقداردهی شده تا الگوريتم قابلیت گريز از بيشينه های محلی را داشته باشد (گرچه همان طور که توضیح دادیم، این فرار از بيشينه های محلی تضمین شده نیست)

$$P(|X| \geq a) \leq \frac{E(X^2)}{a^2}$$

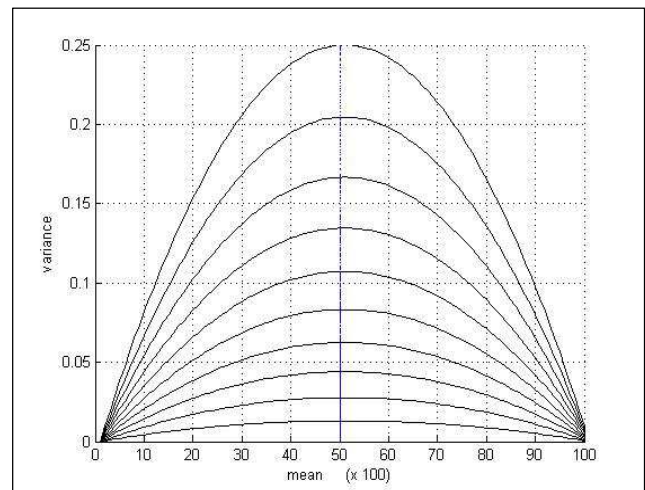
به صورت رابطه (۲۲) تبدیل خواهد شد

$$P(|X - m| \geq a) \leq \frac{Var(X)}{a^2} \quad (22)$$

با جايگذاري $m = E[X^t] = C^*$ و $a = q \cdot \sqrt{Var(X^t)} = q \cdot \delta$ در رابطه (۲۲) نتیجه ج حاصل خواهد شد ■

گزاره ۲ چند نکته را شناس ميدهد:

اولاً مقدار α کنترل کننده نرخ همگراي است. روابط بازگشتی مربوط به ميانگين و واريانس نشان ميدهند که اگر α برابر با ۱ باشد سرعت همگراي بيشينه است. اگرچه مقدار α برابر با ۱ سرعت همگراي بالاي دارد اما منجر به واريانس بزرگتری می شود(شکل ۲). مقادير α کوچک تر گرچه همگراي کندری را سبب می شوند، اما جواب نزديکتری به مقدار احتمال واقعی دارند. نکته حائز اهميت در آن است که واريانس به صفر نمی رسد.



شکل ۲- رابطه ميان واريانس با ميانگين و نرخ يادگيري

دوم اينکه گرچه وجود واريانس ناخوشائيند به نظر می رسد، اما يك مقدار محدود و کوچک واريانس باعث می شود با مشاهده داده های جدي، الگوريتم از گيرافتادن در نقاط بيشينه محلی نجات يابد. علاوه بر اينکه باعث می شود قابلیت انطباق با محيط های متغير را نيز پيدا کند. سرعت اين انطباق پذيری به کمک α يا همان نرخ يادگيري قابل کنترل است. ضمنا گير نيقتدان در نقاط بيشينه محلی، تضمین نشده است و به مقدار α و شکل تابع توزيع بستگی دارد.

سوم اينکه نامساوی چيسيف يك بازه اطمینان از مقدار احتمالي تخمین زده شده توسط آتاماتا نسبت به واريانس تخمین به دست می دهد. اين ويزگی می تواند به انتخاب يك α مناسب کمک کند.

تمام الگوريتم هایی که سعی می کنند به گونه اي پویا نرخ يادگيري را تنظيم کنند، از اين نکته استفاده می کنند که در زمانی که همگراي رخ ميدهد، نرخ يادگيري را کاهش می دهند. به بيانی ديگر، چنانچه اختلاف ميان احتمال تخمین جدي و ميانگين تخمین های قبلی بزرگ باشد، نرخ يادگيري افزایش می يابد. اين حالت زمانی رخ می دهد که يك بيشينه

بزرگتر از ۱ ضرب (برای افزایش) یا تقسیم (برای کاهش) می‌کنیم. با این اصلاحات الگوریتم نهایی پیشنهادی، در حالت ساده آن به شکل ۳ خواهد بود.

ب- در حالت برداری: در این حالت، بردار احتمال انتخاب اقدام‌های آتاماتای یادگیر را در نظر گرفته و به این صورت برخلاف حالت قبل، آتاماتای یادگیر یک نرخ یادگیری دارد که بر اساس نامساوی چیشف در حالت برداری، مقدار آن تنظیم می‌شود. هر زمان که بردار جدید یادگرفته شده توسط آتاماتای یادگیر، بیش از یک میزان مشخص از بردار میانگین مقادیر قبلی فراگرفته شده توسط آتاماتا، فاصله داشته باشد، به معنای وجود تغییرات گسترده در محیط است. برای اینکه بتوان اثر این تغییرات را منعکس کرد آتاماتا بایستی نرخ یادگیری را افزایش دهد. ملاک سنجش میزان تغییرات نابرابری چیشف برداری است. همانند حالت ساده، در اینجا نیز با هر برآورد افزایش مقدار نرخ یادگیری برای گریز از بیشینه محلی، مقدار میانگین با صفر مقداردهی می‌شود.

به این ترتیب الگوریتم پیشنهادی جدید در حالت برداری آن به شکل ۴ خواهد بود.

Proposed Algorithm L_{R-I} (2)

```

1: Parameters: Real q>1, α < 1 Learning Rate
2: Initial: pj ← 1/K, μj ← pj, dt ← 0, t ← 0 for j ← 1 to K
3: loop
4:   Draw randomly an action i according to probabilities p0, ..., pK
5:   Receive either reward or penalty
6:   if reward then
7:     for j ← 1 to K do
8:       if j ≠ i then
9:         pj ← (1 - α)pj //penalt
10:      else
11:        pi ← pi + α(1 - pi) //reward
12:      end if
13:    end for
14:    t ← t + 1;
15:    dt ← dt + 1;
16:    μ = mean(→(i - dt - 1), ..., →(i))
17:    V̄ = Cov(μ, →)
18:    N = trace(→V̄⁻¹)
19:    if (→ - V̄)ᵀV̄⁻¹(→ - V̄) > qN
20:      increment (α); t ← 0; dt ← 0;
21:    else if (1 - α)t < TSH
22:      decrement (α); t ← 0;
23:    end if
24:  end if
25: end loop

```

شکل ۴: الگوریتم پیشنهادی جدید مبتنی بر نامساوی چیشف به شکل برداری

در هردو الگوریتم پیشنهادی مبتنی بر نابرابری چیشف، اگر با نرخ یادگیری α پس از t بار، مقدار $(1 - \alpha)^t$ از یک مقدار آستانه ثابت کمتر باشد، بیانگر آن است که واریانس به مقدار حدی خود- به ازای آن نرخ یادگیری خاص- نزدیک شده است. این نشان دهنده ثبات در محیط است یادگیری افزایش و کاهش نرخ یادگیری، اثر پذیری آتاماتا از نمونه‌های ورودی و میتوان با کاهش نرخ یادگیری، اثر پذیری آتاماتا از نمونه‌های ورودی جدید را کاهش داد. دلیل انتخاب این ملاک برای کاهش نرخ یادگیری به قسمت ب اثبات گزاره ۲ برمی‌گردد که واریانس را به شکل تابعی از میانگین واقعی نشان میدهد. بر اساس آنچه که در قسمت ب گزاره ۲

در این الگوریتم برای اجتناب از سربار محاسباتی، از یک کران بالا برای مقدار واریانس استفاده می‌کنیم. برای رسیدن به این کران بالا قسمت ب گزاره ۲ و اثبات آن را در نظر بگیرید. نشان داده شد که مقدار واریانس در زمان t+1 برابر است با:

$$Var[X^{t+1}] = \frac{\alpha}{2-\alpha} C^*(1 - C^*)(1 - (1 - \alpha)^{2t+2}) \quad (23)$$

رابطه (۲۳) نشان میدهد که واریانس تابعی از میانگین (C*) و نرخ یادگیری (α) است. شکل ۲ رابطه میان واریانس و میانگین را به ازای نرخ‌های مختلف یادگیری نشان می‌دهد. همانگونه که این شکل نیز نشان می‌دهد، هرچقدر میانگین به صفر یا یک نزدیک‌تر باشد، واریانس کوچک‌تر است. بر عکس در میانگین برابر با ۵٪ واریانس، بیشینه مقدار را دارد. علاوه بر این، می‌توان دید که هرچقدر نرخ یادگیری به ۱ نزدیک‌تر باشد (نمودار بالایی) واریانس مقدار بیشتری دارد و بالعکس، در مقادیر کوچک‌تر نرخ یادگیری (پایین ترین نمودار)، واریانس کمتری داریم. برای سهولت در محاسبه واریانس، از یک کران بالا برای آن استفاده می‌کنیم. بدین صورت که مقدار واریانس به ازای میانگین ۵٪ را در محاسبات در نظر می‌گیریم. بدین ترتیب محاسبه واریانس در هر دور تنها تابعی از نرخ یادگیری خواهد بود. این کران بالا با مقدار q کوچک‌تر در الگوریتم جبران می‌شود.

Proposed Algorithm L_{R-I} (1)

```

1: Parameters: Real TSH<<1, q>1, α Learning Rate Vector,
2: Initialization: pj ← 1/K, μj ← 1/K, δj ← 0, tj ← 0 for j ← 1 to K
3: loop
4:   Draw randomly an action i according to probabilities p0, ..., pK
5:   Receive either reward or penalty
6:   if reward then
7:     for j ← 1 to K do
8:       if j ≠ i then
9:         pj ← (1 - αi)pj //penalt
10:      else
11:        pi ← pi + αi(1 - pi) //reward
12:      end if
13:    end for
14:    update (μj)
15:    update (δj)
16:    if |pj - μj|>qδj
17:      increment (αj); tj ← 0; reset μj
18:    else if (1 - αj)tj < TSH
19:      decrement (αj); tj ← 0
20:    else tj ← tj + 1
21:    endif
22:  end for
23:  endif
24: end loop

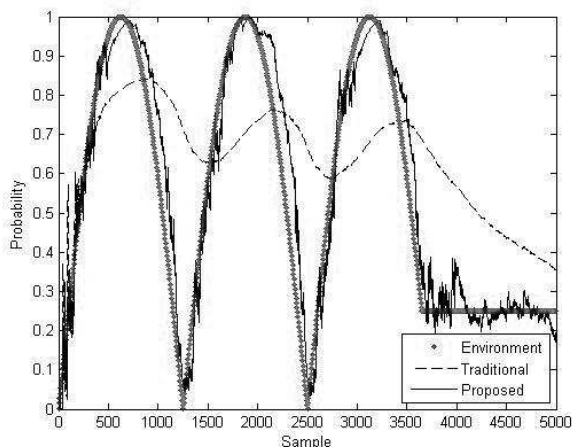
```

شکل ۳: الگوریتم شماره ۱ مبتنی بر نامساوی چیشف در حالت ساده

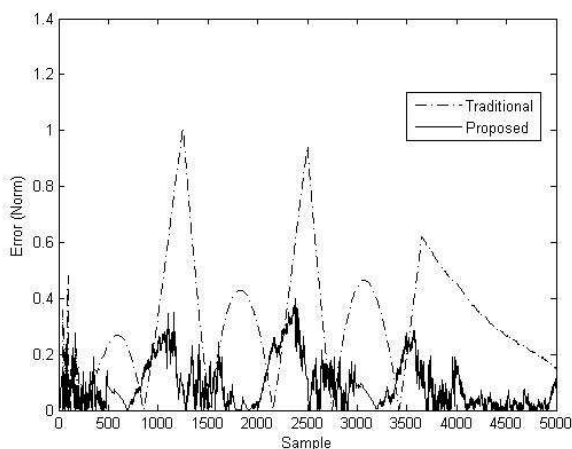
برای محاسبه میانگین نیز از یک میانگین گیری روی مقادیر مربوط به احتمالات استفاده می‌کنیم. هر زمان که نرخ یادگیری افزایش می‌یابد، میانگین‌های قبلی را در نظر نگرفته و میانگین گیری را روی مقادیر جدید آغاز می‌کنیم. این کار باعث گریز از بیشینه‌های محلی می‌شود. برای افزایش و کاهش مقدار نرخ یادگیری آنها را در یک مقدار ثابت

است. برای بررسی عملکرد روش جدید و مقایسه آن، همزمان آناماتا را با الگوریتم ۱ و نیز الگوریتم L_{RI} با نرخ یادگیری کوچک $\alpha = 0.002$ و تکنیک سرد کردن تدریجی با ضریب کاهش 0.001 در هر دور، آموزش داده ایم ($\alpha^t * \alpha^{t+1} = 0.999$). نتیجه مقایسه این دو در شکل ۵ آورده شده است. شکل ۶ مقدار نرم (فاصله) هر یک از دو بردار آموزش داده شده به روش معمول و روش پیشنهادی با بردار واقعی را نشان می‌دهد. شکل ۷ نحوه تغییر (افزایش یا کاهش) نرخ یادگیری را در الگوریتم پیشنهادی نشان می‌دهد.

همچنان که شکل ۷ نشان می‌دهد، افزایش مقدار نرخ یادگیری در موقعیت‌هایی رخ داده که تغییرات بزرگی در محیط ایجاد شده است و در نتیجه، بردار احتمال انتخاب اقدام‌های آناماتا به بردار واقعی محیط نزدیک‌تر است.



شکل ۵- خط تیره درشت تابع ارزیابی اقدام آناماتا توسط محیط را نشان میدهد. خط تیره نازک نحوه تغییر بردار احتمال مربوط به اقدام آناماتای آموزش داده شده به شیوه جدید و خطوط نقطه چین، همان بردار، آموزش داده شده به شیوه معمول را نشان میدهد. (آزمایش ۱)



شکل ۶- فاصله بردارهای آموزش داده شده به هریک از دو شیوه با بردار واقعی در آزمایش شماره ۱

دیدیم مقدار واریانس در زمان تابعی از $(\alpha^{2t} - 1)$ است که در آن α نرخ یادگیری و t تعداد دفعاتی است که نرخ یادگیری بدون تغییر برای آموزش مورد استفاده قرار گرفته است. بدین ترتیب الگوریتم میتواند از $(\alpha^t - 1)$ به عنوان معیاری استفاده کند که میزان ثبات در محیط را نشان می‌دهد و در حقیقت به جای آن که منتظر بماند تا بر اثر افزایش مقدار t مقدار $Var[X^{t+1}]$ به مقدار حدی $(C^*(1 - C^*)^{\frac{2}{2-\alpha}}$ نزدیک شود، با کاهش مقدار نرخ یادگیری α این فرآیند تسريع شود

۴- بررسی نتایج شبیه‌سازی:

برای بررسی نحوه عملکرد روش پیشنهادی جدید، یک آناماتای تصادفی با ۲ اقدام درنظر گرفته ایم که توسط یک محیط تصادفی مورد ارزیابی قرار می‌گیرد. محیط تصادفی، یک محیط پویا در نظر گرفته شده است. بدین صورت که تابع ارزیابی اقدام آناماتا توسط محیط یک مقدار ثابت فرض نشده و در طول زمان آموزش تغییر می‌کند. الگوریتم مورد استفاده توسط آناماتای یادگیر الگوریتم L_{RI} و L_{RI} های پیشنهادی است. برای انجام شبیه‌سازی، توابع مختلفی بر حسب زمان به عنوان تابع پاداش یا جریمه محیط درنظر گرفته ایم. برای هر محیط، یک آناماتا را همزمان به دو شیوه آموزش داده ایم. روش اول، همان روش معمول مورد استفاده در آناماتای یادگیر از یک نرخ یادگیری کوچک سینه ۰.۱ و ۰.۲ آغاز کرده و با کاهش آن به اندازه ۰.۰۱ در هر دور اجرای الگوریتم (تا رسیدن به آستانه ۰.۰۰۱) فرآیند یادگیری را انجام داده است. روش دوم مبتنی بر الگوریتم‌های پیشنهادی یادگیری است. الگوریتم‌های پیشنهادی جدید نیز از یک نرخ یادگیری دلخواه (و غالباً بزرگ نزدیک به ۱) آغاز می‌کنند. نتایج هر دو الگوریتم پیشنهادی در مقایسه با روش معمول، در ادامه آورده شده و نتایج آن شرح داده شده است. معیار مقایسه، میزان انطباق بردار آموزش داده شده در روش جدید پیشنهادی و روش معمول با بردار ارزیابی محیط یا همان احتمال جریمه اقدام انجام شده توسط آناماتا است (که قاعدها مقدار ثابتی نداشته و بر حسب زمان در تغییر است). از نرم (norm) بردار احتمال انتخاب اقدام های یادگرفته شده و بردار احتمالی واقعی به عنوان معیاری جهت مقایسه میزان انطباق پذیری آناماتا با محیط استفاده کرده ایم. نتایج را برای محیط‌های پویای مثال، در ادامه مشاهده می‌کنید.

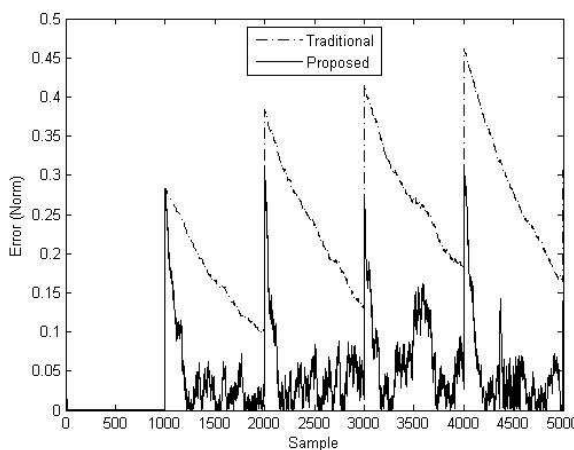
۴- بررسی نتایج الگوریتم پیشنهادی ۱

در اینگروه از آزمایش‌ها از الگوریتم شماره ۱ (شکل ۳) استفاده شده است.

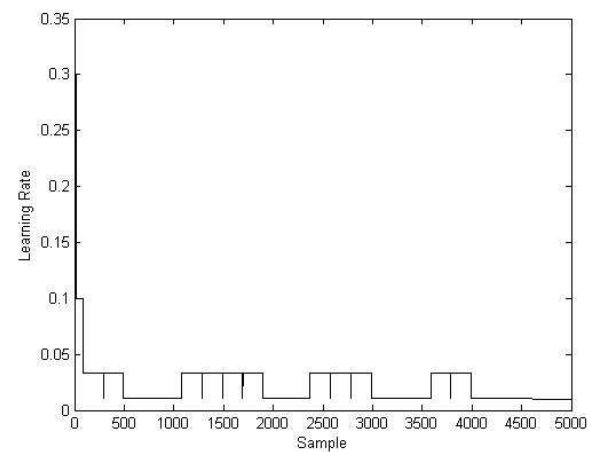
آزمایش ۱: در اولین نمونه، از تابع رابطه (۲۴) به عنوان تابع ارزیابی اقدام شماره ۱ آناماتا استفاده کرده ایم:

$$f(i) = \begin{cases} \left| \sin\left(\frac{4in}{n}\right) \right| & i < 0.73n \\ \left| \sin\left(\frac{4tn}{n}\right) \right| & t = 0.73, i \geq 0.73n \end{cases} \quad (24)$$

در رابطه (۲۴)، i معرف امین نمونه و n نشانده‌نده تعداد کل نمونه ها



شکل ۶- فاصله بردارهای آموزش داده شده به هریک از دو شیوه با بردار واقعی در آزمایش شماره ۲



شکل ۷- تغییرات نرخ یادگیری در آزمایش ۱

آزمایش ۲

در این آزمایش از یک محیط تصادفی استفاده کرده ایم که تابع ارزیابی آن در طول زمان به شکل پله‌ای تغییر می‌کند. این تابع $f(i) = 0.2 * \left\lfloor \frac{5i}{n} \right\rfloor$ است که n معرف امین نمونه و n نشان‌دهنده تعداد کل نمونه‌ها می‌باشد.

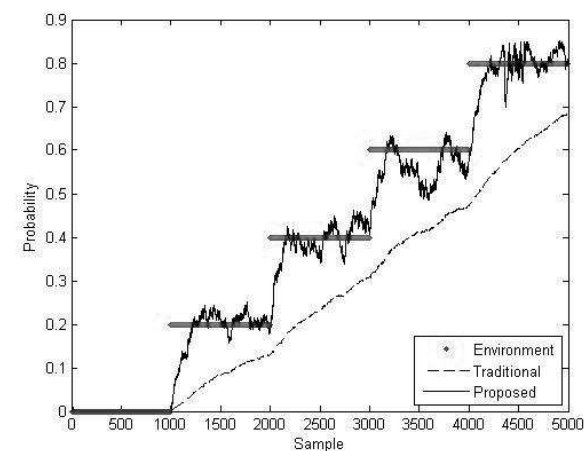
نتایج بررسی عملکرد مقایسه ای الگوریتم پیشنهادی و الگوریتم معمول (بهینه شده)، در تنظیم نرخ یادگیری را در شکل ۸ و شکل ۹ مشاهده می‌کنید. شکل ۸ نشان میدهد که الگوریتم پیشنهادی انطباق بیشتری با رفتار پویای محیط داشته و شکل ۹ نیز مovid میزان خطای کمتر روشن جدید در مقایسه با روشن معمول است.

۴- بررسی نتایج الگوریتم پیشنهادی ۲

در این گروه از آزمایش‌ها، از الگوریتم ۲ (شکل ۴) استفاده کرده‌ایم. الگوریتم جدید از یک نرخ یادگیری دلخواه بزرگ آغاز کرده. در هر دور اجرا بر اساس میزان فاصله بردار جدید احتمال انتخاب به دست آمده برای اقدام‌های آتاماتا از بردار میانگین، اقدام به کاهش یا افزایش نرخ یادگیری نموده است.

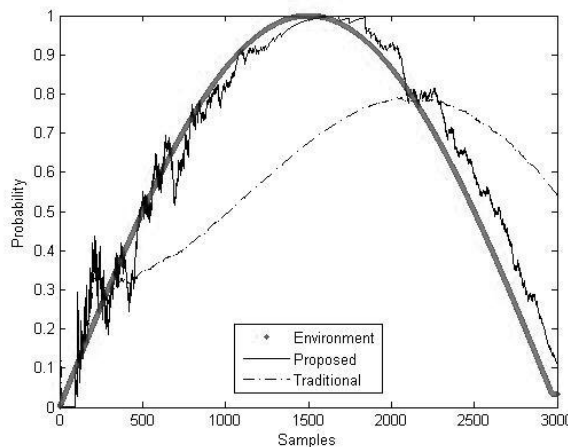
در این الگوریتم، آتاماتای یادگیر یک نرخ یادگیری دارد و نامساوی چبیشف در حالت برداری آن به عنوان معیار تشخیصی برای تعیین آنکه آیا تغییر بزرگی در محیط رخ داده است یا نه مورد استفاده قرار می‌گیرد. نتیجه را در مورد نمونه‌هایی از محیط‌های پویا در ادامه بررسی کرده‌ایم.

آزمایش ۳: محیط پویایی که برای این بررسی انتخاب شده است. تا حدود ۴۰٪ زمان آموزش از تابع پویای ارزیابی اقدام آتاماتا به صورت $|\sin(\frac{9i\pi}{n})|$ برای ارزیابی اقدام آتاماتا استفاده می‌کند (در این نمونه n تعداد کل نمونه‌ها است). اما از این مرحله به بعد، تابع به شکل خطی ثابت و بدون تغییر، اقدام آتاماتا را مورد ارزیابی قرار می‌دهد. نتایج مقایسه‌ای را در شکل ۱۰ و شکل ۱۱ مشاهده می‌کنید. در شکل ۱۲ نیز نحوه تغییرات نرخ یادگیری نشان داده شده است. تلاش آتاماتا برای انطباق با محیط در بخش اول نمونه‌ها که محیط از پویایی بالایی برخوردار است، از طریق افزایش نرخ یادگیری قابل مشاهده است.

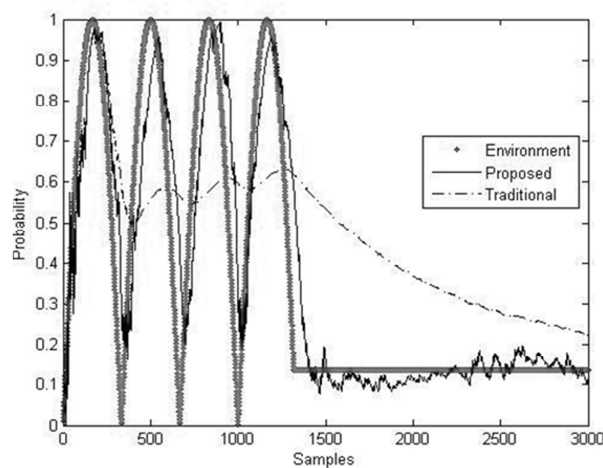


شکل ۸- مقایسه روش معمول (خطوط نازک بریده) در مقایسه با روش پیشنهادی (خطوط تیره پیوسته) در یک محیط پویا (خطوط تیره پلکانی) در آزمایش ۲

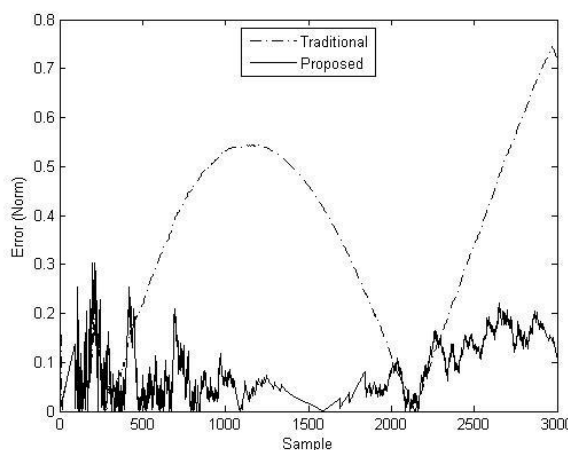
برخوردار است. نتیجه مقایسه ای عملکرد الگوریتم یادگیری L_{R-I} و الگوریتم جدید را در شکل ۱۳ و شکل ۱۴ مشاهده می کنید



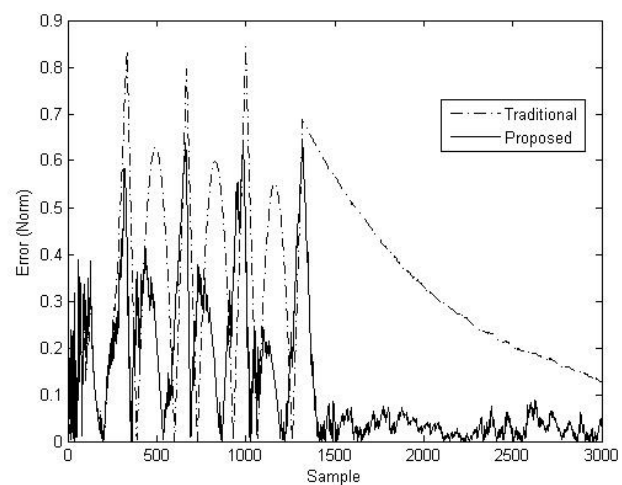
شکل ۱۳- مقایسه روش معمول (خطوط نازک بریده) در مقایسه با روش پیشنهادی(خطوط تیره پیوسته) در یک محیط پویا (شبه سینوسی) در آزمایش ۴



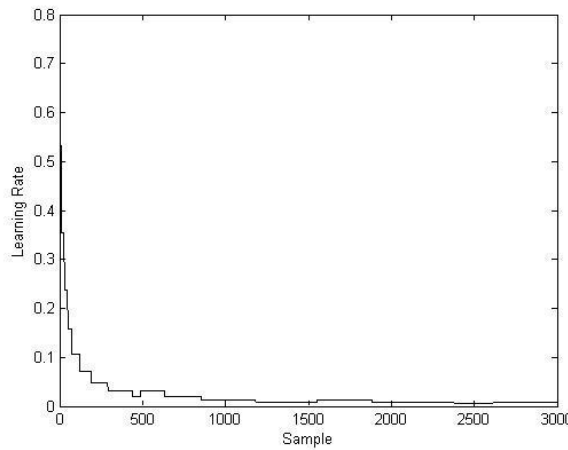
شکل ۱۰- خط تیره رنگ درشت تابع ارزیابی اقدام آتاماتا توسط محیط را نشان میدهد. خط تیره رنگ نازک نحوه تغییر بردار احتمال مربوط به اقدام آتاماتای آموزش داده شده به شبیه جدید و خطوط نقطه چین، همان بردار، آموزش داده شده به شبیه معمول را نشان میدهد



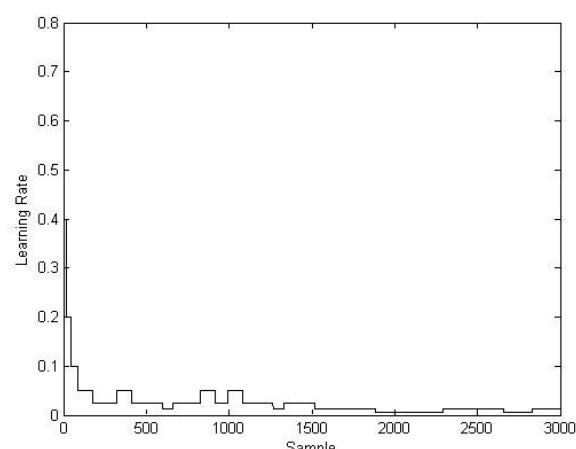
شکل ۱۴- فاصله بردارهای آموزش داده شده به هریک از دو شبیه با بردار واقعی در آزمایش شماره ۴



شکل ۱۱- فاصله بردارهای آموزش داده شده به هریک از دو شبیه با بردار واقعی در آزمایش شماره ۳



شکل ۱۵- تغییرات نرخ یادگیری در آزمایش ۴



شکل ۱۲- تغییرات نرخ یادگیری در آزمایش ۳

آزمایش ۴: برای این نمونه، محیط دیگری در نظر گرفته ایم که تابع ارزیابی محیط (احتمال پاداش به اقدام) از یک رفتار شبه سینوسی

۵- نتیجه گیری:

در این مقاله، به کمک شاخص های آماری حاصل از توزیع احتمال بردار انتخاب اقدام های آناتاما، و با کمک نابرابری چیزیف روش های جدیدی پیشنهاد شد که به کمک آن آناتاما یادگیری ضمن تنظیم خودکار نرخ یادگیری، قادر به یادگیری در محیط های با پویایی بالا است این الگوریتم های جدید قادر به تنظیم اتوماتیک نرخ یادگیری بوده و میتوانند بر حسب میزان تغییرات در محیط و به منظور انطباق با آن، اقدام به کاهش یا افزایش نرخ یادگیری نماید. استفاده از این الگوریتم جدید در محیط های تصادفی پویا که پاسخ محیط به اقدام انجام شده توسعه آناتاما غیر ابتداء و تابعی از زمان است مورد بررسی قرار گرفت و نشان داده شد که الگوریتم های جدید مبتنی بر نامساوی چیزیف از عملکرد بهتری نسبت به روش های یادگیری معمول برخوردارند.

۶- منابع

- [1] H. Beigy, M. R. Meybodi, and M. B. Menhaj, "Adaptation of Learning Rate in Back Propagation Algorithm using Fixed Structure Learning Automata," in *6th Iranian Conference on Electrical Engineering*, 1998.
- [2] S. Shah-Hosseini, "Automatic adjustment of learning rates of the self-organizing feature map," *Scientia Iranica*, vol. 8, 2001.
- [3] carlo H. sequin, chedsada chinrungruang, "Optimal Adaptive K-Means Algorithm with Dynamic Adjustment of Learnig Rate." 1991.
- [4] J. Akbari Torkestani and M. R. Meybodi, "Learning automata-based algorithms for solving stochastic minimum spanning tree problem," *Applied Soft Computing*, vol. 11, no. 6, pp. 4064–4077, Sep. 2011.
- [5] J. Akbari Torkestani and M. R. Meybodi, "Learning Automata-Based Algorithms for Finding Minimum Weakly Connected Dominating Set in Stochastic Graphs," *International Journal of Uncertainty, Fuzziness and Knowledge-Based Systems*, vol. 18, no. 06, pp. 721–758, Dec. 2010.
- [6] H. Beigy and M.R.Meybodi, "Utilizing distributed learning automata to solve stochastic shortest path problems," *International Journal of Uncertainty*, ..., vol. 14, no. 5, pp. 591–615, 2006.
- [7] M. R. MollakhililiMeybodi and M.R.Meybodi, "A New Distributed Learning Automata Based Algorithm for Solving Stochastic Shortest Path," in *6th Conference on Intelligent Systems*, 2004.
- [8] H. Beigy and M. R. Meybodi, "Solving stochastic shortest path problem using Distributed Learning Automata," in *6th Annual CSI Computer Conference (CSICC 2001)*.
- [9] H. Beigy and M. . Meybodi, "Intelligent Channel Assignment in Cellular Networks: A Learning Automata Approach," Amirkabir University of Technology, 2004.
- [10] M. L. Thathachar and P. S. Sastry, "Varieties of learning automata: an overview," *IEEE transactions on systems, man, and cybernetics. Part B, Cybernetics : a publication of the IEEE Systems, Man, and Cybernetics Society*, vol. 32, no. 6, pp. 711–22, Jan. 2002.
- [11] K. S. Narendra and M. A. L. Thathacher, *Learning Automata*. Prentice-Hall, 1989.
- [12] M. L. Tsetlin, "on the behaviour of finite automata in random media," *Automata., Telemekh.*, vol. 22, pp. 1345–1354, 1961.
- [13] B. J. Oomen and H. MAsum, "Switching Models for Nonstationary Random Environments," *IEEE transactions on systems, man, and cybernetics.*, vol. 25, no. 9, pp. 1334–1347.
- [14] K. S. Narendra and M. A. L. Thathachar, "On the Behavior of a Learning Automaton in a Changing Environment with Application to Telephone Traffic Routing," *Systems, Man and Cybernetics, IEEE Transactions on*, vol. 10, no. 5, pp. 262–269.
- [15] S. M. Ross, *Introduction to Probability and Statistics dor Engineers and Scientists*, Third. Elsevier Academic Press, 2004.
- [16] A. Papoulis, *Probability, Random Variables, and Stochastic Processes*, 3rd ed. New York, USA: McGrawHill, 1991.